

TR 279/93
ISSN 0907-7073

**DAMPDIFFUSIVITET
SOM FUNKTION AF
RELATIV FUGTIGHED**

BEHANDLING AF KOP-RESULTATER

JETTE BRUNNSTRØM JENSEN
KURT KIELSGAARD HANSEN
LABORATORIET FOR BYGNINGSMATERIALER
DANMARKS TEKNISKE HØJSKOLE · 1993

INDHOLDSFORTEGNELSE

1. INDLEDNING	1
2. KOPMETODEN	2
3. DEN SVENSKE METODE	3
4. BEREGNINGSEKSEMPEL	7
5. SAMMENFATNING	10
6. REFERENCELISTE	11

APPENDIX A : Koprapport for materialet puds

1. INDLEDNING

Nærværende tekniske rapport redegør for en svensk beregningsmetode /1/ til bestemmelse af et materiales vanddampdiffusivitet som funktion af relativ fugtighed (RF). Et materiales dampdiffusivitet for fastholdt RF-niveau bestemmes ved kopmetoden.

Rapporten indledes med en kort gennemgang af kopmetoden. Derefter gennemgås den svenske metode, idet sammenhængen mellem de korrigerede flow og vanddamptrykkene på materialeprøvens underside beskrives med et matematisk funktionsudtryk. Ved differentiering af det opstillede funktionsudtryk kan hældningskoefficienten fås for enhver værdi af vanddamptrykket på materialeprøvens underside. Den søgte dampdiffusivitet som funktion af relativ fugtighed fås ved multiplikation af materialeprøvens tykkelse med hældningskoefficienten.

På basis af kopresultater for materialet puds fra LBM-serie 61, der er vedlagt som Appendix A, gennemregnes den svenske metode sidst i rapporten.

2. KOPMETODEN

Et materiales dampdiffusivitet δ_p [kg/(Pa·s·m)] bestemmes ved kopmetoden /2/, /3/, /4/ og /5/. Princippet i kopmetoden er at måle materialets diffusionsmodstandstal Z_p [Pa·s·m²/kg] ved registrering af sammenhørende værdier af tid og vægtændring for koppen med det pågældende materiale. Med kendskab til hældningen af vægtændringskurven a [kg/s] kan Z_p beregnes af (2.1) :

$$Z_p = A \cdot dp/a \quad (2.1)$$

Hvor A er det eksponerede areal af materialeprøven i koppen [m²]. For LBM's koppen er $A = 5 \cdot 10^{-3}$ m²

dp er damptryksforskellen over materialeprøven [Pa], jvf. (3.4).

Sammenhængen mellem diffusionsmodstandstal Z_p og dampdiffusivitet δ_p er følgende :

$$\delta_p = L/Z_p \quad (2.2)$$

Hvor L er materialeprøvens tykkelse [m].

I det følgende er fugtstrøm pr. arealenhed benævnt med ordet flow. Flowet F [kg/(s·m²)] beregnes ved :

$$F = a/A \quad (2.3)$$

Måleresultaterne fra kopforsøg behandles v.h.a. LBM's kopanalyseprogram /6/ og /7/. Kopanalyseprogrammet korrigerer måleresultaterne m.h.t. luftlagstykke og masked-edge-effekt. Endvidere beregner kopanalyseprogrammet den relative fugtighed på materialeprøvernes under- og overside (RF_1 , RF_2). I Appendix A er vist et eksempel på en koprappart. Det er måleresultater korrigert for luftlagstykke og masked-edge-effekt, der anvendes i det følgende.

3. DEN SVENSKE METODE

Til bestemmelse af dampdiffusivitetens afhængighed af vanddamprykket i et materiale benyttes en svensk beregningsmetode /1/. Metoden antager, at vanddamprykket i en materialeprøve er vanddamprykket på prøvens underside, d.v.s. på prøvens overflade mod koppen.

"Rådata" til beregning med den svenske metode fås fra kopforsøg. For at bestemme et materiales dampdiffusivitet som funktion af vanddampryk kræves resultater fra kopper med mindst 5 forskellige fugtigheder i kopperne. I denne rapport anvendes resultater fra kopper med 75, 85, 93, 97 og 100 % RF i kopperne og med 50 % RF i prøvekammeret.

Vanddamprykket på materialeprøvens under- og overside p_1 og p_2 [Pa] beregnes ud fra den relative fugtighed RF_1 og RF_2 [% RF] på materialeprøvens under- og overside ved (3.1) :

$$p_1 = RF_1 p_s \cdot 10^{-2} \text{ og } p_2 = RF_2 p_s \cdot 10^{-2} \quad (3.1)$$

Hvor p_s er mætningsdamprykket ved prøvekammerets temperatur [Pa].

Mætningsdamprykket p_s i prøvekammeret bestemmes ud fra kammerets temperatur T [K], jvf. koprappart i Appendix A :

$$p_s = \exp(23.5771 - (4042.9/(T - 37.58))) \quad (3.2)$$

Da hældningen af vægtændringskurven a ikke beregnes i kopanalyseprogrammet, beregnes det korrigerede flow F [$\text{kg}/(\text{s m}^2)$] på følgende måde, jvf. koprappart i Appendix A :

$$F = dp/Z_p = dp \cdot \delta_p / L \quad (3.3)$$

Hvor Z_p er materialeprøvens korrigerede fugtmodstandtal [$\text{Pa} \cdot \text{s m}^2/\text{kg}$]

δ_p er materialeprøvens korrigerede dampdiffusivitet [$\text{kg}/(\text{Pa} \cdot \text{s m})$]

L er materialeprøvens tykkelse [m]

dp er damptryksforskellen over materialeprøven [Pa].

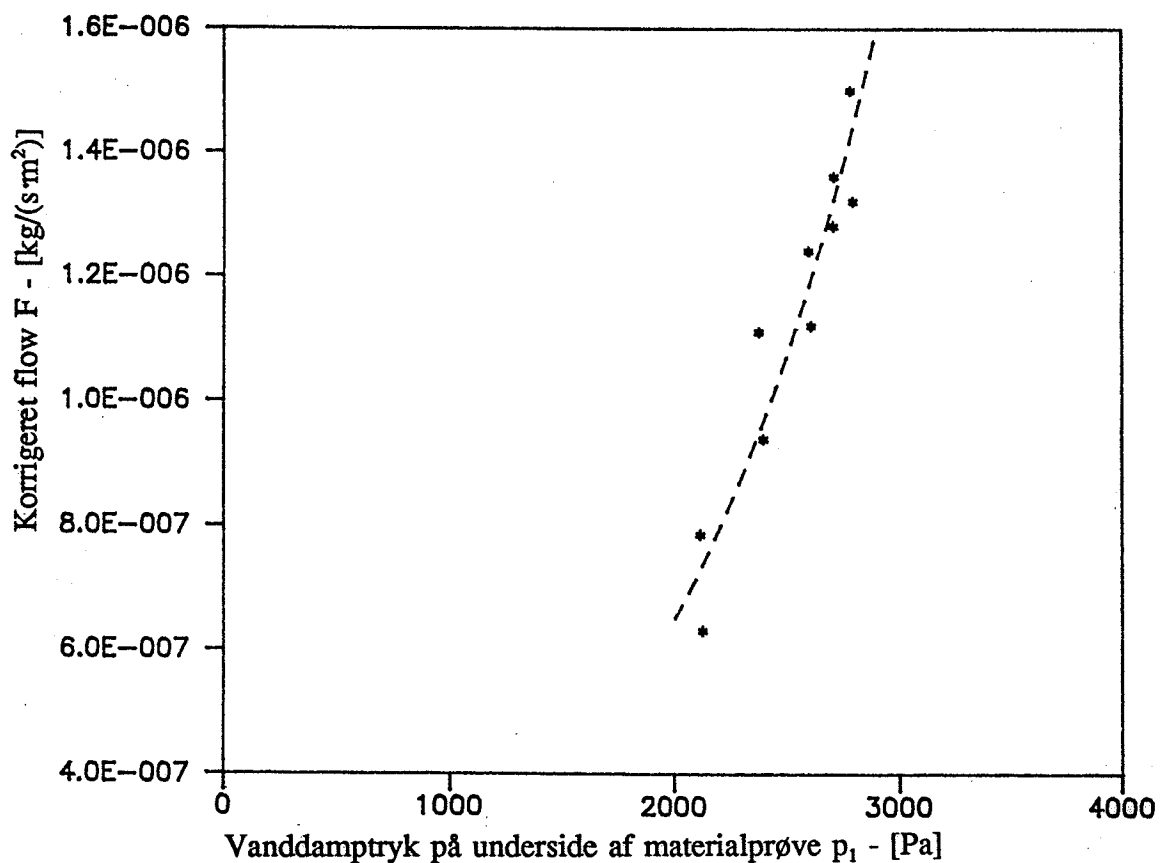
Damptryksforskellen over materialeprøven dp beregnes ved (3.4) :

$$dp = p_1 - p_2 \quad (3.4)$$

Sammenhængen mellem det korrigerede flow og vanddampttrykket beskrives v.h.a. grafikprogrammet GRAPHER med et matematisk funktionsudtryk. Det er vigtigt, at funktionsudtrykket beskriver resultaterne godt. For materialet puds har det vist sig at være en eksponentalfunktion, som giver den bedste beskrivelse af resultaterne, jvf. figur 3.1. Den fundne eksponentalfunktion har følgende udseende :

$$F = 8.73 \cdot 10^{-8} \exp(1.00 \cdot 10^3 p_1) \quad (3.5)$$

I figur 3.1 er det målte korrigerede flow F for materialet puds afbildet som funktion af vanddampttrykket p_1 på materialeprøvens underside.



Figur 3.1. Korrigeret flow som funktion af vanddampttryk for materialet puds.

Ud fra (3.5) kan hældningskoefficienten α [kg/(Pa·s·m²)] i ethvert punkt på den stiblede kurve i figur 3.1 bestemmes ved differentiering, idet $F'(p_1) = \alpha(p_1)$. Det differentierede funktionsudtryk har følgende udseende :

$$\alpha = 8.73 \cdot 10^{-11} \exp(1.01 \cdot 10^3 p_1) \quad (3.6)$$

Hvis det ikke er muligt at beskrive resultaterne ved et matematisk funktionsudtryk kan hældningskoefficienten i stedet findes grafisk. Den bedste kurve gennem punkterne i en figur svarende til figur 3.1 optegnes, og hældningskoefficienten beregnes derefter på almindelig grafisk vis.

Materialets dampdiffusivitet δ [kg/(Pa·s·m)] er givet ved (3.7) :

$$\delta = \alpha \cdot L \quad (3.7)$$

Dermed kan sammenhørende værdier af den relative fugtighed under materialeprøven RF_1 og materialeprøvens dampdiffusivitet δ beregnes, idet (3.6) og (3.7) giver h.h.v. α og δ . Det bør bemærkes, at hvis det ikke er muligt at beskrive resultaterne i figur 3.1 med et matematisk funktionsudtryk, eksisterer (3.6) ikke, og α eksisterer derfor kun som grafisk fundne talværdier.

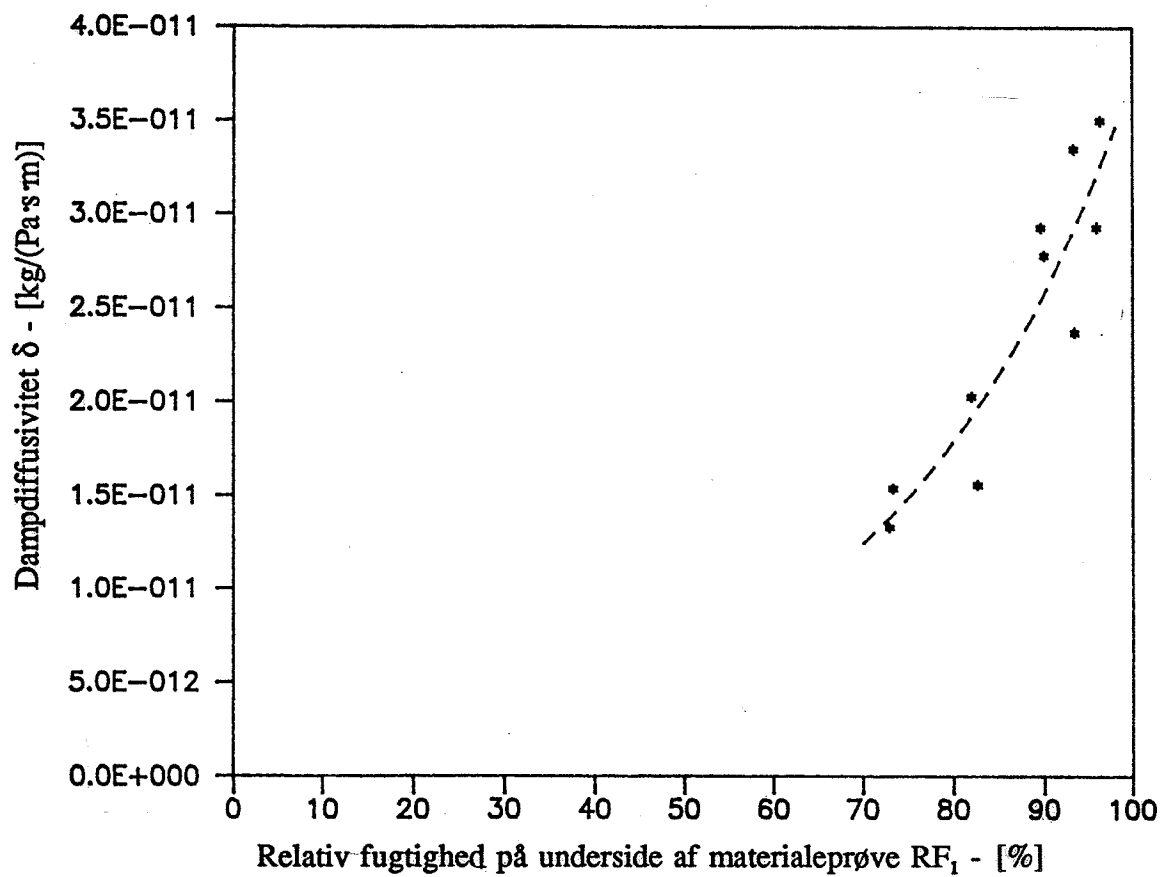
For materialet puds har det været muligt at opstille et matematisk funktionsudtryk til beskrivelse af resultaterne, jvf. (3.5) og (3.6). Dette medfører, at udtryk (3.8), som beskriver sammenhængen mellem dampdiffusivitet og relativ fugtighed, kan opstilles ved indsættelse af (3.1) og (3.7) i (3.6) :

$$\delta = 8.73 \cdot 10^{-11} \cdot L \cdot \exp(1.01 \cdot 10^{-5} p_s \cdot RF_1) \quad (3.8)$$

I figur 3.2 på næste side er dampdiffusiviteten δ for materialet puds afbildet som funktion af den relative fugtighed RF_1 under materialeprøven.

Funktionsudtryk (3.8) angiver dampdiffusiviteten δ som funktion af 2 parametre - materialeprøvens tykkelse L og den relative fugtighed under materialeprøven RF_1 . Har alle materialeprøver ved kopforsøgene samme tykkelse kan (3.8) forsimples yderligere således, at dampdiffusiviteten direkte kan beskrives med en kurve i en figur, hvor δ er afbildet som funktion af RF_1 . Er materialeprøvernes tykkelser som her derimod forskellige, vil der udfra (3.8) kun kunne beregnes enkelte punkter (værdier). Et punkt kan beregnes for hver kombination af L og RF_1 , som har været repræsenteret ved hvert kopforsøg. Eventuelt kan der derefter v.h.a. grafikprogrammet GRAPHER fittes et matematisk udtryk til beskrivelse af punkterne. Den stiblede kurve i figur 3.2 er således fittet v.h.a. GRAPHER ud fra de optegnede punkter i figur 3.2. Det fittede udtryk er eksponentielt og har følgende udseende :

$$\delta = 9.61 \cdot 10^{-13} \cdot \exp(3.66 \cdot 10^{-2} \cdot RF_1) \quad (3.9)$$



Figur 3.2. Dampdiffusivitet som funktion af relativ fugtighed for materialet puds.

4. BEREGNINGSEKSEMPEL

I Appendix A er vedlagt koprapporten fra LBM-serie 61 med resultater fra kopforsøg med materialet puds. I tabel 4.1 er angivet placeringen af de resultater i Appendix A, som ved den svenske metode anvendes til bestemmelse af dampdiffusivitetens afhængighed af den relative fugtighed.

RESULTATER	Side nr.	Søjle nr.
Relativ fugtighed under prøve; RF ₁	4	8
Relativ fugtighed over prøve; RF ₂	4	7
Diffusionsmodstand; Z _p	6	5
Dampdiffusivitet; δ _p	6	7

Tabel 4.1. *Placering af anvendte resultater i koprapporten i Appendix A.*

Ud fra (3.1) omregnes de registrerede relative fugtigheder RF₁ og RF₂ h.h.v. under og over hver pudsprøve til vanddamptryk p₁ og p₂, jvf. tabel 4.2. Prøvekammerets temperatur var under kopforsøget 23.5°C, der ifølge (3.2) medfører et mætningsdampttryk på 2898 Pa.

Kop nr.	Relativ fugtighed under prøve; RF ₁	Relativ fugtighed over prøve; RF ₂	Vanddamptryk under prøve; p ₁	Vanddamptryk over prøve; p ₂	Damptryksforskell; dp
	[%]	[%]	[Pa]	[Pa]	[Pa]
1	72.9	49.8	2112.6	1443.2	669.4
2	73.3	49.7	2124.2	1440.3	683.9
3	82.6	49.8	2393.7	1443.2	950.5
4	81.9	49.9	2373.5	1446.1	927.4
5	89.9	49.9	2605.3	1446.1	1159.2
6	89.5	50.0	2593.7	1449.0	1144.7
7	93.4	50.0	2706.7	1449.0	1457.7
8	93.3	50.1	2703.8	1451.9	1251.9
9	96.3	50.1	2790.8	1451.9	1338.9
10	95.9	50.1	2779.2	1451.9	1327.3

Tabel 4.2. *Vanddamptryk på underside af prøver fra kopforsøg med materialet puds.*

De målte og beregnede trykværdier for hver kop er angivet i tabel 4.2 sammen med den beregnede damptryksforskål Δp over de enkelte pudsprøver.

Derefter beregnes det korrigerede flow F v.h.a. (3.3). Det korrigerede flow kan enten beregnes på baggrund af det korrigerede fugtmodstandstal Z_p eller den korrigerede dampdiffusivitet δ_p . I tabel 4.3 er de beregnede talværdier for det korrigerede flow for hver pudsprøve angivet.

Sammenhængen mellem det korrigerede flow og vanddampttrykket under pudsprøverne er optegnet i figur 3.1. Sammenhængen beskrives godt med en exponentialfunktion, jvf. den stiblede kurve i figur 3.1. Exponentialfunktionens udseende er angivet i (3.5).

Kop nr.	Damptryksforskål; Δp [Pa]	Korrigert fugtmodstandstal; Z_p [Pa·s·m ² /kg]	Korrigert flow; F [kg/(s·m ²)]
1	669.4	$0.85 \cdot 10^9$	$7.88 \cdot 10^{-7}$
2	683.9	$1.08 \cdot 10^9$	$6.33 \cdot 10^{-7}$
3	950.5	$1.01 \cdot 10^9$	$9.41 \cdot 10^{-7}$
4	927.4	$0.83 \cdot 10^9$	$1.12 \cdot 10^{-6}$
5	1159.2	$1.04 \cdot 10^9$	$1.11 \cdot 10^{-6}$
6	1144.7	$0.92 \cdot 10^9$	$1.24 \cdot 10^{-6}$
7	1257.7	$0.93 \cdot 10^9$	$1.35 \cdot 10^{-6}$
8	1251.9	$0.98 \cdot 10^9$	$1.28 \cdot 10^{-6}$
9	1338.9	$1.02 \cdot 10^9$	$1.31 \cdot 10^{-6}$
10	1327.3	$0.88 \cdot 10^9$	$1.51 \cdot 10^{-6}$

Tabel 4.3. Beregning af det korrigerede flow for materialet puds.

Hældningskoefficienten α skal derefter beregnes i hvert punkt på den stiblede kurve i figur 3.1. For materialet puds kan α beregnes ud fra (3.6), fordi det korrigerede flow kan beskrives med det matematiske funktionsudtryk (3.5). Når hældningskoefficienten er bestemt for de relative fugtigheder under materialeprøverne kan dampdiffusiviteten bestemmes v.h.a. (3.6) og (3.7). Beregningsresultaterne er angivet i tabel 4.4.

Sammenhængen mellem dampdiffusivitet og den relative fugtighed på pudsprøvernes underside er optegnet i figur 3.2. Den stiblede kurve i figur 3.2 er fittet ud fra de optegnede punkter i figuren. Det fittede funktionsudtryk er angivet i (3.9).

Kop nr.	Tykkelse af prøve; L	Relativ fugtighed under prøve; RF ₁	Hældningskoeficient; α	Dampdiffusivitet; δ
	[m]	[%]	[kg/(Pa·s·m ²)]	[kg/(Pa·s·m)]
1	0.01813	72.9	$7.22 \cdot 10^{-10}$	$1.31 \cdot 10^{-11}$
2	0.02081	73.3	$7.30 \cdot 10^{-10}$	$1.52 \cdot 10^{-11}$
3	0.01608	82.6	$9.56 \cdot 10^{-10}$	$1.54 \cdot 10^{-11}$
4	0.02138	81.9	$9.37 \cdot 10^{-10}$	$2.00 \cdot 10^{-11}$
5	0.02314	89.9	$1.18 \cdot 10^{-9}$	$2.73 \cdot 10^{-11}$
6	0.02474	89.5	$1.17 \cdot 10^{-9}$	$2.89 \cdot 10^{-11}$
7	0.01787	93.4	$1.31 \cdot 10^{-9}$	$2.34 \cdot 10^{-11}$
8	0.02530	93.3	$1.30 \cdot 10^{-9}$	$3.30 \cdot 10^{-11}$
9	0.02425	96.3	$1.42 \cdot 10^{-9}$	$3.45 \cdot 10^{-11}$
10	0.02053	95.9	$1.41 \cdot 10^{-9}$	$2.89 \cdot 10^{-11}$

Tabel 4.4. Beregning af dampdiffusivitet for materialet puds.

5. SAMMENFATNING

Denne rapport beskriver en metode til bestemmelse af dampdiffusivitetens afhængighed af relativ fugtighed for et materiale. Metoden er udviklet af svenskeren Lars-Olof Nilsson fra Tekniska Högskolan i Lund, Sverige.

"Rådata" til beregning med den svenske metode fås fra kopforsøg. For at bestemme at et materiales dampdiffusivitet som funktion af vanddamprtryk kræves kopresultater for kopper med mindst 5 forskellige fugtigheder i kopperne.

I kapitel 2 gennemgås kopmetoden kort, mens kapitel 3 omhandler beregningsgrundlaget for den svenske metode. Ved den svenske metode bestemmes først sammenhængen mellem det korrigerede flow og vanddamprtryk på materialeprøvernes underside. Denne sammenhæng beskrives med et matematisk funktionsudtryk. Ved differentiering af dette funktionsudtryk kan hældningskoefficienten for enhver værdi af vanddamprtrykket på materialeprøvernes underside findes. Materialets dampdiffusivitet som funktion af relativ fugtighed fås dernæst ved multiplikation af materialeprøvernes tykkelser med de tilhørende hældningskoefficienter.

Endelig gennemregnes i kapitel 4 et eksempel ud fra kopresultater for materialet puds fra LBM-serie 61. Kopresultaterne for puds er vedlagt i Appendix A.

6. REFERENCELISTE

- /1/ Nilsson, L.-O., "Fuktproblem vid betonggolv". Rapport TVBM-3002, Tekniska Högskolan i Lund, Avdelningen för Byggnadsmaterillära, Lund, Sverige, 1977.
- /2/ Kielsgaard Hansen, K., "Equipment for and Results of Water Vapour Transmission Tests using Cup Methods". Proceedings of the ICHMT Symposium on Heat and Mass Transfer in Building Materials and Structures, Dubrovnik, Yugoslavia, September 4-8, 1989.
- /3/ West, G.P. og Kielsgaard Hansen, K., "Kopudstyr til måling af fugttransport". Teknisk Rapport 179/88, Danmarks Tekniske Højskole, Laboratoriet for Bygningsmateriale, Lyngby, Danmark, 1988.
- /4/ Kielsgaard Hansen, K. og Lund, H.B., "Cup Method for Determination of Water Vapour Transmission Properties af Building Materials. Sources of Uncertainty in the Method". Proceedings of 2nd Symposium on Building Physics in the Nordic Countries, Trondheim, Norway, August 20-22, 1990. ISBN 82-519-0941-4, Tapir Publishers 1990.
- /5/ Bredahl Nielsen, C., "Fejlkorrektion ved kopmålinger". Teknisk Rapport 259/92, Danmarks Tekniske Højskole, Laboratoriet for Bygningsmateriale, Lyngby, Danmark, 1992.
- /6/ West, G.P. og Kielsgaard Hansen, K., "KOPANALYSE. Program til analyse af måleresultater opsamlet i KOP-udstyr". Teknisk Rapport 191/88, Danmarks Tekniske Højskole, Laboratoriet for Bygningsmateriale, Lyngby, Danmark, 1988.
- /7/ Mullit, P., "KOPANALYSE, version 2. Program til analyse af måleresultater opsamlet i kopudstyr". Teknisk Rapport xxx/92, Danmarks Tekniske Højskole, Laboratoriet for Bygningsmateriale, Lyngby, Danmark, 1992.

APPENDIX A

Koprapport for materialet puds

Bygning 118 · DK-2800 Lyngby · Telefon 45 93 43 31 · telephone +45 45 93 43 31 · telefax 42 88 67 53

19.FEB.1993

RESULTAT AF KOPMÅLINGER

Rekvirent : Eduard Troels-gård - Rådgivende Ingeniører A/S
 Kontaktperson : Svend Jakobsen

Prøveleder : Jette Brunnstrøm Udført af: Britta Roll
 Prøveperiode : Januar 1993 LBM-serienummer: 61

Prøvekammer : 23.5 °C, 49.3 %RH v_{luft}: 2.1 m/s
 Det angivne klima i prøvekammeret er middelværdi for hele prøveperioden.

Effektivt prøveareal: A = 5000 mm²

Fugtmodstandstal

$$Z_p = A \cdot dp / \alpha \quad (\text{Pa} \cdot \text{s} \cdot \text{m}^2 / \text{kg})$$

dp: Damptryksforskel over prøveemne.

$$Z_c = Z_p \cdot 7.3 \cdot 10^{-6} \quad (\text{s/m})$$

α : Hældningen af vægtændringskurven.

Diffusivitet

$$\delta_p = 1/Z_p \quad (\text{kg/Pa} \cdot \text{s} \cdot \text{m}) \quad l : \text{Prøvelegemets tykkelse.}$$

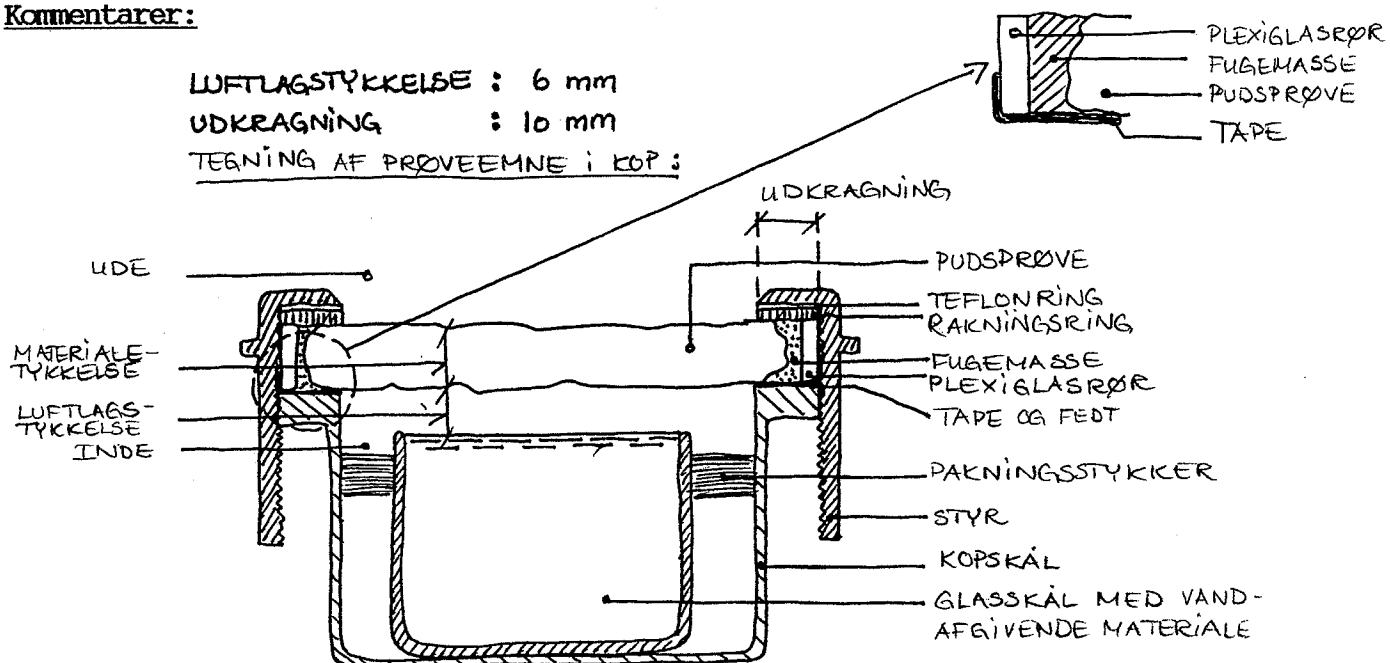
$$D_c = 462 \cdot T \cdot \delta_p \quad (\text{m}^2/\text{s}) \quad T : \text{Temperatur i Kelvin.}$$

Kommentarer:

Luftlagstykke : 6 mm

Udkragning : 10 mm

TEGNING AF PROVEEMNE I KØP :



Prøveleders underskrift: Jette Brunnstrøm
 Jette Brunnstrøm

2

Data for de enkelte kopper findes på næste side.

19.FEB.1993

=====

RESULTAT AF KOPMÅLINGER

=====

Prøveperiode: Januar 1993

LBM-serienummer: 61

Prøvekammer : 23.5 °C, 49.3 %RH

v_{luft}: 2.1 m/s

Kop	Prøveemne	Tykkelse i kop	Modstand		Diffusivitet	
			l	Z _p	Z _c	δ _p
			mm	%	·10 ⁹ Pa·s·m ² /kg	·10 ³ s/m
1	Puds	18.13	75	0.72	5.22	25.3475
2	Puds	20.81	75	0.88	6.41	23.7101
3	Puds	16.08	85	0.87	6.32	18.5877
4	Puds	21.38	85	0.68	4.93	31.6549
5	Puds	23.14	93	0.82	6.01	28.1215
6	Puds	24.74	93	0.72	5.28	34.2201
7	Puds	17.87	97	0.78	5.67	23.0093
8	Puds	25.30	97	0.76	5.54	33.3492
9	Puds	24.25	100	0.80	5.82	30.4222
10	Puds	20.53	100	0.72	5.26	28.4714

Et nul for Z_p, Z_c, δ_p og D_c angiver, at disse ikke er beregnet.Bemærkninger:Z_p og øvrige værdier er uden korrektioner.

19.FEB.1993

 RESULTAT AF KOPMÅLINGER

Prøveperiode: Januar 1993

LBM-serienummer: 61

Prøvekammer : 23.5°C, 49.3 %RH

v_luft: 2.1 m/s

Kop	Prøveemne	Tykkelse i kop	RH	Modstand		RH over materialeprøve	RH under materialeprøve
				Zp	Zc		
		mm	%	·10 ⁹ Pa·s·m ² /kg	·10 ³ s/m	%	%
1	Puds	18.13	75	0.68	4.98	49.8	72.9
2	Puds	20.81	75	0.85	6.17	49.7	73.3
3	Puds	16.08	85	0.83	6.08	49.8	82.6
4	Puds	21.38	85	0.64	4.69	49.9	81.9
5	Puds	23.14	93	0.79	5.77	49.9	89.9
6	Puds	24.74	93	0.69	5.04	50.0	89.5
7	Puds	17.87	97	0.74	5.43	50.0	93.4
8	Puds	25.30	97	0.73	5.30	50.1	93.3
9	Puds	24.25	100	0.76	5.58	50.1	96.3
10	Puds	20.53	100	0.69	5.03	50.1	95.9

Et nul for Zp og Zc angiver, at disse ikke er beregnet.

Bemærkninger:Zp og Zc er korrigteret for **Luftlagstykke**.

19.FEB.1993

=====

RESULTAT AF KOPMÅLINGER

=====

Prøveperiode: Januar 1993

LEM-serienummer: 61

Prøvekammer : 23.5°C, 49.3 %RH

v_luft: 2.1 m/s

Kop	Prøveemne	Tykkelse i kop	Modstand		Diffusivitet	
			1 mm	Zp % •10 ⁹ Pa•s•m ² /kg	Zc •10 ³ s/m	δp •10 ⁻¹² kg/Pa•s•m
1	Puds	18.13	75	0.88	6.46	20.4893
2	Puds	20.81	75	1.12	8.16	18.6272
3	Puds	16.08	85	1.05	7.63	15.3761
4	Puds	21.38	85	0.86	6.31	24.7250
5	Puds	23.14	93	1.07	7.82	21.5883
6	Puds	24.74	93	0.96	6.98	25.8804
7	Puds	17.87	97	0.96	6.99	18.6528
8	Puds	25.30	97	1.01	7.36	25.0947
9	Puds	24.25	100	1.05	7.66	23.1118
10	Puds	20.53	100	0.92	6.68	22.4324

Et nul for Zp, Zc, δp og Dc angiver, at disse ikke er beregnet.

Bemærkninger:

Zp og fvrige værdier er korrigteret for Masked-Edge-Effekt.

19.FEB.1993

=====
RESULTAT AF KOPMÅLINGER
=====

Prøveperiode: Januar 1993

LBM-serienummer: 61

Prøvekammer : 23.5°C, 49.3 %RH

v_luft: 2.1 m/s

Kop	Prøveemne	Tykkelse i kop	RH	Modstand		Diffusivitet	
				l mm	Zp ·10 ⁹ Pa·s·m ² /kg	Zc ·10 ³ s/m	δp ·10 ⁻¹² kg/Pa·s·m
1	Puds	18.13	75	0.85	6.22	21.2689	2.9151
2	Puds	20.81	75	1.08	7.92	19.1841	2.6294
3	Puds	16.08	85	1.01	7.40	15.8682	2.1749
4	Puds	21.38	85	0.83	6.08	25.6885	3.5209
5	Puds	23.14	93	1.04	7.59	22.2619	3.0512
6	Puds	24.74	93	0.92	6.74	26.7893	3.6717
7	Puds	17.87	97	0.93	6.76	19.3064	2.6461
8	Puds	25.30	97	0.98	7.12	25.9288	3.5538
9	Puds	24.25	100	1.02	7.42	23.8490	3.2687
10	Puds	20.53	100	0.88	6.44	23.2565	3.1875

Et nul for Zp, Zc, δp og Dc angiver, at disse ikke er beregnet.

Bemærkninger:

Zp og fvrige værdier er korrigert for **Luftlagstykke**
og Masked-Edge-Effekt.